

Esquemas de assinatura digital pós-quânticos baseados em AES

Gustavo Zambonin, Marcello da Silva Klingelfus Junior

Sistemas Operacionais II (UFSC-INE5424)

1 Introdução

Texto parcialmente reproduzido do Trabalho de Conclusão de Curso do primeiro autor.

A aplicação de protocolos criptográficos é essencial no contexto da validação e proteção de quaisquer comunicações realizadas por um conjunto de entidades, sejam estas dispositivos eletrônicos ou indivíduos, em virtude da possível criticidade e sensibilidade atribuídas aos dados transmitidos. Esquemas de assinatura digital são comumente utilizados para assegurar este processo de maneira formal [Gol04], através da autenticidade e não-repúdio do remetente e certeza da integridade dos dados, a fim de traduzir o resguardo provido por uma assinatura de próprio punho no mundo real.

Na prática, a maior parte destes esquemas utilizam como alicerce algorítmico criptossistemas assimétricos baseados em problemas “difíceis” da teoria dos números, como a fatoração de inteiros ou resolução do logaritmo discreto, ambos para números grandes. Este fato provê a segurança necessária para os esquemas em computadores clássicos (eletrônicos), por conta da inexistência de algoritmos que resolvem estes problemas em tempo polinomial, até o momento. Entretanto, em computadores quânticos, algoritmos dessa forma já existem — em especial, o algoritmo de Shor [Sho97] — efetivamente tornando estes esquemas clássicos inseguros neste novo contexto.

Para combater esta situação, a criptografia pós-quântica encarrega-se de buscar algoritmos criptográficos cuja segurança é considerada suficiente mesmo utilizando-se de um computador quântico e ataques especializados, como o algoritmo de Grover [Gro96]. Esta área conta com diversas abordagens diferentes: a criptografia baseada em reticulados, polinômios multivariados sobre um corpo finito, códigos de correção de erros, morfismos entre curvas elípticas supersingulares, criptossistemas simétricos e funções de resumo criptográfico. Em especial, é possível mesclar as duas últimas opções a fim de aproveitar, respectivamente, o desempenho e a simplicidade destas, bem como demonstrar a versatilidade garantida pelas diferentes funções que podem ser utilizadas para a criação destes esquemas.

2 Funções de resumo criptográfico

Uma função de resumo \mathcal{H} mapeia valores deterministicamente entre dois conjuntos. O domínio pode ter tamanho infinito, e neste caso a função pode ser chamada de função de compressão; a imagem deve ser estritamente menor do que o domínio e finita, e elementos deste conjunto são chamados de resumos. É desejável para \mathcal{H} que estes mapeamentos ocorram de tal maneira que não ocorra uma relação aparente entre entradas e saídas da função. Funções de resumo adicionadas de propriedades que tornam-as adequadas para utilização no contexto de segurança da informação são chamadas de funções de resumo criptográfico, e possibilitam a certeza da integridade de dados, mesmo que armazenados em um dispositivo inseguro.

Tome $X : \{0, 1\}^*$ e $Y : \{0, 1\}^n$, $n \in \mathbb{N}$. Então, $\mathcal{H} : X \rightarrow Y$. De acordo com [Sti05], para que qualquer \mathcal{H} seja considerada criptográfica, deve ser difícil resolver os três problemas listados abaixo. É importante notar que um problema é considerado “difícil”, ou computacionalmente impraticável, quando o tempo ou recursos gastos para esta computação excedem a validade ou utilidade da informação desejada.

- Fornecido um resumo $h \in Y$, achar a mensagem original $m \in X$ que gerou h através de $\mathcal{H}(m) = h$; \mathcal{H} é considerada resistente à pré-imagem (PRE) se isto não pode ser resolvido de maneira eficiente.
- Fornecida uma mensagem $m_0 \in X$, achar uma mensagem $m_1 \in X$ tal que $m_0 \neq m_1$ e $\mathcal{H}(m_0) = \mathcal{H}(m_1)$. \mathcal{H} é considerada resistente à segunda pré-imagem (SEC) se isto não pode ser resolvido de maneira eficiente.
- Para quaisquer duas mensagens $m_0, m_1 \in X$ e $m_0 \neq m_1$, $\mathcal{H}(m_0) = \mathcal{H}(m_1)$. \mathcal{H} é considerada resistente à colisões (COL) se isto não pode ser resolvido de maneira eficiente.

3 AES — *Advanced Encryption Standard*

O AES é uma cifra de blocos que opera sobre uma matriz de estado A , onde $A_{i,j} \in \mathbb{F}_{2^8}^{(1)}$, $0 \leq i, j < 4$, a partir de uma chave K de tamanho $n = \{128, 192, 256\}$. É uma versão padronizada pelo NIST (*National Institute of Standards and Technology*) [oST01] do algoritmo Rijndael [DR02]. Seu funcionamento é denominado iterativo, consistindo em aplicações sequenciais de quatro operações ordenadas (SUBBYTES, SHIFTRows, MIXCOLUMNS e ADDROUNDKEY) sobre A . A quantidade destas aplicações, denominadas rodadas (n_r), depende diretamente do tamanho da chave: $n = 128 \rightarrow n_r = 10, n = 192 \rightarrow n_r = 12, n = 256 \rightarrow n_r = 14$.

Note que existe uma rodada adicional introdutória composta apenas de ADDROUNDKEY, para que o estado inicial seja modificado. Ademais, MIXCOLUMNS é ignorado na última rodada, a fim de facilitar a reversibilidade da cifra. Uma rotina de expansão de chave (KEYEXPANSION) existe para que K seja propagada em todas as rodadas com valores derivados, porém distintos. Estes componentes serão descritos abaixo.

- i. SUBBYTES: realiza-se a reposição de $A_{i,j}$ pelo seu valor correspondente em uma *substitution-box* (S -box, construída a partir de uma transformação afim em $A_{i,j}^{-1}$ sobre \mathbb{F}_2), onde os *nibbles* mais e menos significativos, respectivamente, representam a linha e a coluna do elemento na S -box.
- ii. SHIFTRows: cada linha de A , A_i , é deslocada circularmente à esquerda i vezes.
- iii. MIXCOLUMNS: cada coluna de A , A_j , é multiplicada pelo polinômio $c = 03 \cdot x^3 + 01 \cdot x^2 + 01 \cdot x + 02$, módulo $x^4 + 1$, para que o resultado ainda seja um polinômio de grau máximo 3, apto a ser representado na coluna.
- iv. ADDROUNDKEY: a operação XOR bit a bit é aplicada entre A e o bloco da chave referente à rodada.

KEYEXPANSION consiste da criação de um conjunto de palavras K_e de 32 bits. Tome $\ell = \frac{n}{32}$, e assumindo que é necessário criar palavras suficientes para utilização em todas as rodadas do algoritmo, então $t = \ell \cdot (n_r + 1)$ e $K^e = \{k_0, \dots, k_{t-1}\}$. Também defina $rot(x)$ como o deslocamento circular à esquerda de 8 bits da palavra x , e a lista de constantes RC com elementos em \mathbb{F}_{2^8} definida pela recursão $RC_0 = x^0, RC_1 = x^1, RC_j = x^{j-1} \cdot RC_{j-1}, j > 2$. Inicialmente, $\{k_0, \dots, k_{\ell-1}\} = K$, e $\forall i \geq \ell, K_i^e = K_{i-\ell}^e \oplus \mathbf{k}$. A palavra \mathbf{k} , inicialmente com valor K_{i-1}^e , pode ser modificada de acordo com as restrições (mutualmente exclusivas) abaixo.

- $i \equiv 0 \pmod{4} \rightarrow \mathbf{k} = \text{SUBBYTES}(rot(K_{i-1}^e)) \oplus RC_i;$
- $\ell = 8 \wedge i \equiv 4 \pmod{8} \rightarrow \mathbf{k} = \text{SUBBYTES}(K_{i-1}^e).$

Assim, uma função que criptografa uma mensagem m e retorna um texto cifrado c pode ser representada pelo pseudocódigo abaixo.

Dados: m , o texto a ser cifrado; K , a chave desejada

Resultado: c , o texto cifrado resultante

```

 $A \leftarrow m;$ 
 $K_0^e \dots K_{(n_r+1) \cdot \ell}^e \leftarrow \text{KEYEXPANSION}(K);$ 
 $A \leftarrow \text{ADDROUNDKEY}(A, \{K_0^e, \dots, K_{\ell-1}^e\});$ 
para  $i \leftarrow 1$  até  $n_r - 1$  faça
     $A \leftarrow \text{SUBBYTES}(A);$ 
     $A \leftarrow \text{SHIFTRows}(A);$ 
     $A \leftarrow \text{MIXCOLUMNS}(A);$ 
     $A \leftarrow \text{ADDROUNDKEY}(A, \{K_{i \cdot \ell}^e, \dots, K_{(i+1) \cdot \ell - 1}^e\});$ 
fim
 $A \leftarrow \text{SUBBYTES}(A);$ 
 $A \leftarrow \text{SHIFTRows}(A);$ 
 $A \leftarrow \text{ADDROUNDKEY}(A, \{K_{n_r \cdot \ell}^e, \dots, K_{(n_r+1) \cdot \ell - 1}^e\});$ 
 $c \leftarrow A;$ 

```

Para que a cifra seja caracterizada como simétrica, é preciso criar uma função que faça o inverso do procedimento acima. Assim, suas etapas precisam ser modificadas de acordo.

- i. INVSHIFTRows: cada linha de A , A_i , é deslocada circularmente à direita i vezes.
- ii. INVSubBYTES: é necessário computar a transformação afim inversa para cada elemento $A_{i,j}$, e depois calcular sua inversa multiplicativa.
- iii. INVMIXCOLUMNS: cada coluna de A , A_j , é multiplicada pela inversa multiplicativa $d = c^{-1}$, obtida por: $(03 \cdot x^3 + 01 \cdot x^2 + 01 \cdot x + 02) \cdot d \equiv 1 \pmod{x^4 + 1}$, logo $d(x) = 0B \cdot x^3 + 0D \cdot x^2 + 09 \cdot x + 0E$.

⁽¹⁾Definido pelo polinômio irredutível $m(x) = x^8 + x^4 + x^3 + x + 1$. Adições e multiplicações em corpos da forma \mathbb{F}_{2^n} são, respectivamente, representadas por operações AND e XOR, e coeficientes de polinômios são palavras binárias, tornando esta estrutura convidativa para operações computacionais.

Por fim, o algoritmo resultante pode ser representado pelo pseudocódigo abaixo. Note a mudança da ordem das etapas, e a utilização invertida de K_e .

Dados: c , o texto cifrado; K , a chave desejada
Resultado: m , o texto claro resultante
 $A \leftarrow c$;
 $K_0^e \dots K_{(n_r+1)\cdot\ell}^e \leftarrow \text{KEYEXPANSION}(K)$;
 $A \leftarrow \text{ADDRoundKEY}(A, \{K_{n_r\cdot\ell}^e, \dots, K_{(n_r+1)\cdot\ell-1}^e\})$;
para $i \leftarrow n_r - 1$ **até** 1 **faça**
 $A \leftarrow \text{INVShiftRows}(A)$;
 $A \leftarrow \text{INVSubBytes}(A)$;
 $A \leftarrow \text{ADDRoundKEY}(A, \{K_{i\cdot\ell}^e, \dots, K_{(i+1)\cdot\ell-1}^e\})$;
 $A \leftarrow \text{INVMixColumns}(A)$;
fim
 $A \leftarrow \text{INVShiftRows}(A)$;
 $A \leftarrow \text{INVSubBytes}(A)$;
 $A \leftarrow \text{ADDRoundKEY}(A, \{K_0^e, \dots, K_{\ell-1}^e\})$;
 $m \leftarrow A$;

4 Criptografia simétrica

Algoritmos criptográficos que utilizam a mesma chave para criptografar o texto plano e descriptografar o texto correspondente cifrado são classificados como algoritmos de criptografia simétrica. A chave representa um segredo compartilhado entre entidades em uma comunicação segura. Porém, a necessidade de um canal seguro para o estabelecimento desta chave apresenta-se como uma desvantagem deste tipo de criptografia. Geralmente, cifras de bloco (DES, AES) ou de fluxo (RC4, Salsa20) são a base para estes algoritmos. Utilizando estas como alicerce, é possível construir funções de resumo criptográfico: por exemplo, a construção Merkle-Damgård, base para as funções MD5, SHA1 e SHA2, utiliza uma função de compressão única, obtida a partir de uma cifra de bloco [MVO96, 9.14].

5 Criptografia assimétrica

Em contrapartida, a criptografia assimétrica, ou criptografia de chaves públicas, engloba os algoritmos que utilizam um par de chaves: a chave privada (\mathcal{S}_k), conhecida apenas pela entidade que a gerou, e a chave pública (\mathcal{P}_k), distribuída livremente. Isto possibilita o uso livre de \mathcal{P}_k para a comunicação segura com o detentor da chave sem a necessidade de um canal seguro, em virtude da construção dos algoritmos. A segurança destes depende da “dificuldade” computacional de determinar uma chave privada a partir da chave pública, e também do armazenamento de \mathcal{S}_k em um lugar seguro. Problemas em teoria de números e álgebra que atualmente não admitem soluções em tempo polinomial são comumente utilizados como base para algoritmos assimétricos. Porém, percebe-se que, com a introdução de um computador quântico, estes problemas podem ser resolvidos de maneira significativamente mais rápida, como visto em [Sho97].

6 Esquemas de assinatura digital

Um esquema de assinatura digital é uma construção matemática que habilita a demonstração de certas propriedades sobre mensagens assinadas: nomeadamente, a autenticação do remetente, onde esta entidade pode ser facilmente identificada como a emissora da assinatura digital; a integridade da mensagem, *i.e.* a certeza de que esta não foi modificada ao ser transmitida por um canal possivelmente inseguro; e o não-repúdio do remetente, onde não é possível negar que uma mensagem foi assinada e enviada, após este fato.

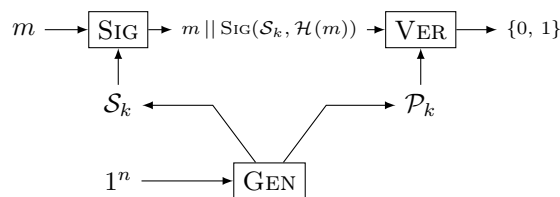


Figura 1: Funcionamento típico de um esquema de assinatura digital.

Esquemas de assinatura digital são fortemente baseados em criptografia de chaves públicas, e consistem de três algoritmos: a geração de chaves $\text{GEN}(1^n)$, que gera um par de chaves aleatório $(\mathcal{P}_k, \mathcal{S}_k)$ com parâmetro de segurança n ; o algoritmo de assinatura $\text{SIG}(\mathcal{S}_k, m)$, que produz uma assinatura σ para uma mensagem m ; e o algoritmo de verificação $\text{VER}(\mathcal{P}_k, m, \sigma)$, que retorna o estado de validade da assinatura como um valor verdade binário. De acordo com [Gol04], todas as assinaturas geradas por SIG devem ser verificáveis por VER utilizando todas as chaves geradas por GEN . Formalmente, $\forall(p, s) \in \text{GEN}^\rightarrow(1^n)$ e $\forall w \in \{0, 1\}^*$,

$$\Pr[\text{VER}(p, w, \text{SIG}(s, w)) = 1] = 1. \quad (1)$$

Na Figura 1, é possível visualizar um diagrama do comportamento de um esquema de assinatura digital genérico. Note que σ geralmente é composto da concatenação da mensagem original com a assinatura do resumo criptográfico desta, embora a saída do algoritmo SIG consista apenas da aplicação de uma função interna a este ao resumo.

7 O esquema Winternitz

O esquema de assinatura digital única Winternitz (WOTS — *Winternitz one-time signature*), em sua proposta original [Mer89], apresenta versatilidade em relação ao tamanho de chaves e da assinatura, e também pode ser configurado para utilizar diferentes funções de resumo criptográfico a fim de utilizar recursos possivelmente disponíveis no dispositivo alvo.

Tome um parâmetro de segurança m , geralmente considerado como o tamanho da saída da função de resumo criptográfico escolhido. Um parâmetro $w \in \mathbb{N}, w > 1$ também deve ser definido, responsável por codificar a quantidade de bits a serem assinados simultaneamente, modificando assim o desempenho geral do esquema e o tamanho de chaves e assinatura. A partir destes, calcula-se

$$t_1 = \left\lceil \frac{m}{w} \right\rceil, \quad t_2 = \left\lceil \frac{\lfloor \log_2 t_1 \rfloor + 1 + w}{w} \right\rceil \quad \text{e} \quad t = t_1 + t_2.$$

Por fim, considere as funções⁽²⁾ de mão única $f : \{0, 1\}^m \rightarrow \{0, 1\}^m$ e de resumo criptográfico $\mathcal{H} : \{0, 1\}^* \rightarrow \{0, 1\}^m$. Descreve-se abaixo o funcionamento do esquema e discute-se algumas de suas características.

Geração de chaves. Defina $\mathcal{S}_k = (x_{t-1}, \dots, x_0) \xleftarrow{\$} \{0, 1\}^m$ como a chave privada, informalmente uma t -tupla de inteiros pseudoaleatórios. A chave pública $\mathcal{P}_k = (y_{t-1}, \dots, y_0)$ pode ser derivada de \mathcal{S}_k , computando $f^{2^w-1}(x) \forall x \in \mathcal{S}_k$. Logo, $\mathcal{P}_k = (f^{2^w-1}(x_{t-1}), \dots, f^{2^w-1}(x_0))$.

Geração da assinatura. Tome uma mensagem M e calcule o seu resumo $d = \mathcal{H}(M)$. Por conveniência, escolha-se m ou w de forma que $w \mid m$, mas podem ser concatenados zeros ao resumo para que isso seja satisfeito. d é dividido em uma t_1 -tupla de palavras em base- w , $\mathcal{B}_1 = (b_{t-1}, \dots, b_{t-t_1})$. Adicionalmente, uma soma de verificação é calculada usando a representação inteira dos elementos de \mathcal{B}_1 : $c = \sum_{b \in \mathcal{B}_1} 2^w - 1 - b$. Novamente, c pode ser arredondado com zeros até que $w \mid |c|$. Finalmente, c é dividido em uma t_2 -tupla de palavras base- w , $\mathcal{B}_2 = (b_{t_2-1}, \dots, b_0)$. Assim, $\mathcal{B} = \mathcal{B}_1 \cup \mathcal{B}_2$ e obtém-se a assinatura $\sigma = (f^{b_{t-1}}(x_{t-1}), \dots, f^{b_0}(x_0))$.

Verificação da assinatura. Para assegurar a corretude da assinatura σ , todos os blocos σ_i precisam ser verificados separadamente através do cálculo das aplicações restantes de f . Assim, computando \mathcal{B} novamente, σ está correta se $\mathcal{P}_k = (f^{2^w-1-b_{t-1}}(\sigma_{t-1}), \dots, f^{2^w-1-b_0}(\sigma_0))$.

Note que não é possível decrementar valores $b_i \in \mathcal{B}$, pois isto implicaria em achar uma pré-imagem de f , o que é computacionalmente inviável em vista da restrição para f . Então, resta apenas a tentativa da falsificação de σ incrementando algum valor b_i . A soma de verificação c é necessária a fim de proteger o esquema contra este comportamento. Observe que, em sua ausência, é possível que uma entidade maliciosa crie assinaturas σ' apenas calculando mais iterações de f em blocos da assinatura σ . Entretanto, com a presença de c , e consequentemente \mathcal{B}_2 , ao modificar um valor $b_j \in \mathcal{B}_1$, para que o valor correto de \mathcal{B}_2 seja mantido, é necessário que uma pré-imagem de algum bloco $b_k \in \mathcal{B}_2$ seja calculada. Analogamente, modificar algum valor de \mathcal{B}_2 também tornará a verificação da assinatura impossível.

7.1 WOTS+

O principal esquema variante do WOTS, chamado de WOTS+ [Hül17], tem como ideia principal a reposição de f por uma família de funções \mathcal{F}_k , substituindo o processo de iterações sequenciais — utilizando apenas uma função — do esquema original. Esta característica também permite uma prova de segurança mais simples, mas não menos poderosa, que desconsidera a necessidade da resistência à colisões de f .

⁽²⁾Na prática, o esquema pode ser instanciado utilizando \mathcal{H} no lugar de f .

Defina os parâmetros m, w e a partir destes, t_1, t_2 e t , bem como a função de resumo criptográfico $\mathcal{H} : \{0, 1\}^* \rightarrow \{0, 1\}^m$ de maneira análoga ao esquema original. A família de funções que o WOTS+ utiliza é definida por $\mathcal{F}_k : \{0, 1\}^m \rightarrow \{0, 1\}^m \mid k \in \mathcal{K}_m$, ou seja, funções de mão única sem compressão, e \mathcal{K}_n é interpretado como o espaço de chaves. A partir desta família, e de uma tupla de palavras pseudoaleatórias $r = (r_0, \dots, r_{2^w-1}) \xleftarrow{\$} \{0, 1\}^m$, elabora-se a nova função de iteração $c_k^i(x, r)$, definida recursivamente como $c_k^0(x, r) = x$, $c_k^i(x, r) = f_k(c_k^{i-1}(x, r) \oplus r_i)$.

Geração de chaves. Defina \mathcal{S}_k e r como tuplas de inteiros pseudoaleatórios, discutidos anteriormente. O algoritmo também deve escolher uma chave de função $k \xleftarrow{\$} \mathcal{K}$. Por fim, $\mathcal{P}_k = (c_k^{2^w-1}(x_{t-1}, r), \dots, c_k^0(x, r))$.

Geração da assinatura. Tome uma mensagem M , calcule o seu resumo $d = \mathcal{H}(M)$ e a soma de verificação c correspondente, produzindo \mathcal{B} . As considerações sobre preenchimento de m e c ainda se aplicam. Aplicando a nova função de iteração, tem-se $\sigma = (c_k^{b_{t-1}}(x_{t-1}, r), \dots, c_k^{b_0}(x_0, r))$.

Verificação da assinatura. Novamente, é necessário calcular \mathcal{B} para obter as iterações restantes até \mathcal{P}_k . Assim, σ está correta se $\mathcal{P}_k = (c_k^{2^w-1-b_{t-1}}(\sigma_{t-1}, r), \dots, c_k^{2^w-1-b_0}(\sigma_0, r))$. Note que as primeiras b_i palavras de r não serão utilizadas.

Note que é possível utilizar uma função conhecida, como o AES, para as iterações de f . Isto pode ser explicado por conta de implementações em hardware de rotinas relacionadas, como o conjunto de instruções AES-NI da Intel, habilitando um grande ganho de desempenho no cômputo desta cifra. Porém, é necessário adaptar a cifra de blocos para que respeite as restrições impostas pelo esquema WOTS+. Para que isto seja feito de maneira a manter um nível de segurança suficiente, é possível empregar a construção Matyas-Meyer-Oseas (MMO, [MVO96, 9.41]).

Assuma uma cifra de blocos genérica E_k parametrizada pela chave k , cujo bloco tem um tamanho de n bits. Tome um vetor de inicialização IV de tamanho n , e uma função g que adapte sua entrada para chaves do tamanho necessário por E_k . Deseja-se obter um resumo h_k de tamanho n que represente uma palavra x , e que sua inversibilidade seja computacionalmente inviável. Deste modo, $X = (x_0, \dots, x_{k-1}), \forall x_i \in X, |x_i| = n$, ou seja, divida x em uma t -tupla cujos elementos têm tamanho n — preenchimento com zeros pode ser aplicado caso existam elementos que desrespeitem esta regra. O resultado deste processo é definido recursivamente como $h_0 = IV, h_i = E_{g(h_{i-1})}(x_i) \oplus x_i, 1 \leq i \leq t$.

Utilizando este método, é possível integrar AES junto ao WOTS+, como forma de executar iterações para criar e verificar a assinatura, como sugerido por [Hül17, 4.1]. Note que apenas esta versão do esquema pode beneficiar-se deste método, em virtude dos elementos pseudoaleatórios r aplicados em cada iteração. Do contrário, o método pode introduzir multicolisões em WOTS, efetivamente reduzindo sua segurança total.

7.2 Esquemas baseados em árvores de Merkle

A criação de um par de chaves para cada mensagem, bem como a infraestrutura necessária para relacionar múltiplas chaves a uma entidade, podem tornar-se processos extremamente onerosos. Desse modo, assim como esquemas de assinatura digital clássicos, deseja-se que uma chave privada possa assinar múltiplos documentos. No contexto de esquemas baseados em funções de resumo criptográfico, a estrutura de dados chamada de árvore de Merkle, geralmente de característica binária e perfeita, pode ser aproveitada para tal.

De modo genérico, folhas de uma árvore de Merkle são construídas a partir do resumo criptográfico de dados que desejam ser inseridos nesta. Então, pais destas folhas computarão o resumo criptográfico do valor dos resumos de seus filhos concatenados, repetindo este processo até que a raiz seja preenchida. Esta estrutura também pode ser utilizada para verificação conjunta da integridade de múltiplos arquivos, visto que qualquer mudança em um nó da árvore produzirá um valor distinto na raiz quando calculado novamente, descaracterizando a validade dos dados atrelados a esta.

O primeiro esquema de assinatura digital baseado em árvores de Merkle [Mer89] habilita a assinatura de até 2^{20} mensagens. Informalmente, os dados inseridos em suas folhas são chaves públicas de diferentes instâncias de um esquema de assinatura única, como WOTS. Assim, ao construir a árvore de Merkle, a raiz será a chave pública deste esquema, que validará todas as folhas da árvore através de um caminho de autenticação. A chave privada pode ser descrita como o conjunto de chaves privadas das folhas. Vários outros esquemas continuam utilizando assinatura única e compõem o estado da arte da literatura [BDE⁺17, HBG⁺18], demonstrando a utilidade destes esquemas e suas otimizações.

Referências

- [BDE⁺17] Daniel J. Bernstein, Christoph Dobraunig, Maria Eichlseder, Scott Fluhrer, Stefan-Lukas Gazdag, Andreas Hülsing, Panos Kampanakis, Stefan Kölbl, Tanja Lange, Martin M. Lauridsen, Florian Mendel, Ruben Niederhagen, Christian Rechberger, Joost Rijneveld, and Peter Schwabe. SPHINCS⁺ — Submission to the NIST post-quantum project, dec 2017.

- [DR02] Joan Daemen and Vincent Rijmen. *The Design of Rijndael*. Springer-Verlag New York, Inc., Secaucus, NJ, USA, 2002.
- [Gol04] Oded Goldreich. *Foundations of Cryptography: Volume 2, Basic Applications*. Cambridge University Press, New York, NY, USA, 2004.
- [Gro96] Lov K. Grover. A fast quantum mechanical algorithm for database search. In *Proceedings of the Twenty-eighth Annual ACM Symposium on Theory of Computing, STOC '96*, pages 212–219, New York, NY, USA, 1996. ACM.
- [HBG⁺18] Andreas Hülsing, Denis Butin, Stefan-Lukas Gazdag, Joost Rijneveld, and Aziz Mohaisen. XMSS: Extended Hash-Based Signatures. Internet-Draft draft-irtf-cfrg-xmss-hash-based-signatures-12, Internet Engineering Task Force, jan 2018. Work in Progress.
- [Hül17] Andreas Hülsing. WOTS+ – Shorter Signatures for Hash-Based Signature Schemes. Cryptology ePrint Archive, Report 2017/965, 2017. <http://eprint.iacr.org/2017/965>.
- [Mer89] Ralph C. Merkle. A Certified Digital Signature. In *Proceedings on Advances in Cryptology, CRYPTO '89*, pages 218–238, New York, NY, USA, 1989. Springer-Verlag New York, Inc.
- [MVO96] Alfred J. Menezes, Scott A. Vanstone, and Paul C. Van Oorschot. *Handbook of Applied Cryptography*. CRC Press, Inc., Boca Raton, FL, USA, 1st edition, 1996.
- [oST01] National Institute of Standards and Technology. Advanced Encryption Standard. *NIST FIPS PUB 197*, 2001.
- [Sho97] Peter W. Shor. Polynomial-Time Algorithms for Prime Factorization and Discrete Logarithms on a Quantum Computer. *SIAM J. Comput.*, 26(5):1484–1509, October 1997.
- [Sti05] Douglas R. Stinson. *Cryptography: Theory and Practice, Third Edition*. Discrete Mathematics and Its Applications. Taylor & Francis, 3rd edition, 2005.